

真题

说明：

从此页开始至下一张说明，为1999-2016年真题。

1999-2009年真题和答案均有电子版打印，但我在复习过程中觉得答案不全，另手写了一份答案。

2010-2015年真题无打印版，答案手写，但部分手写在真题题中，另一部分手写在白纸上。

2016年真题和答案全为手写。

字丑见谅。

* 1999-2009 答案夹在真题页中。

2010-2015 答案在打印真题的后面

~~18/11/~~

1. 液相共晶. ~~中杂质原子比晶体间隙多，杂质原子与位错形成交互作用，阻碍进行弹性交互作用，结果间隙原子在位错附近聚集形成小原子集团。~~

2. 离异共晶. (可在平衡条件下获得也可在非平衡条件下获得)

由于非平衡共晶体数量较少通常共晶体中d相依存于温度和时间，将晶体中d相加热到最后凝固的温度处，从而使共晶体的成核时间的组织特征消失。这种两相分离的共晶体称离异共晶。

~~共晶转变~~ (两相分离的共晶组织对于某些成分远离共晶比的亚共晶往往共晶结合，由于初相的量很多而共晶体量很小……)。

3. 共析转变

由一个固相在恒温下转变成为两个固相表达式 $r \rightarrow r_1 + r_2$ 由于是固相转变速度远比共晶转变时快又经需要较大的过冷共析转变的组织为两相之~~共析~~混合物，但此共析组织仍然在~~共析~~相界上。

4. 上坡扩散.

在扩散过程中扩散驱动力是化学势梯度，但在通常化学势梯度与浓度梯度相伴表现在由高浓度向低浓度扩散。相当两者不同时表现为由低浓度向高浓度扩散。致两者都是使化学势降低但后者为上坡扩散。

5. 临界分切应力定律.

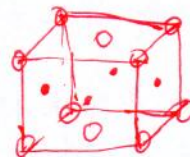
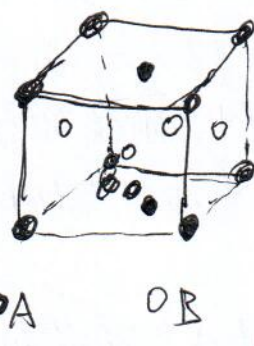
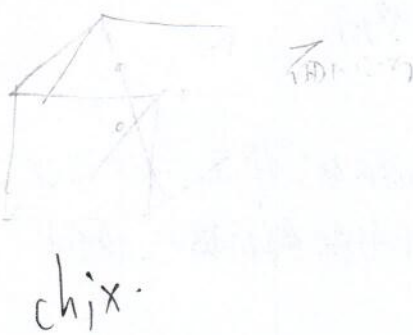
~~在外加切应力作用下晶体转变~~

谓之分切应力作用下发生。当晶体受力时晶体中的某个滑移系是否发生滑动取决于沿此滑移系分切应力的大小，当分切应力达到某一临界值时滑移开始 $\tau = \tau_c$ 与 φ 成正比。 φ 分别是滑移面法线角和滑移的方向。临界分切应力取自元。

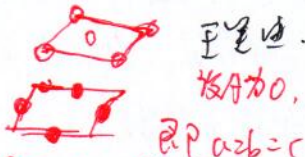
6. 二次再结晶. (少散晶粒异常长大的现象)

当细小的一次再结晶组织被继续加热时，阻碍正常晶粒长大的因素一旦开始消除，由少散转强晶粒将迅速生长，这些晶粒进一步长大超过周围的小晶粒由于大晶粒耗尽的晶粒将向其生长。晶粒是向外迁移的结果它越来越大直至互相接触为止，形成二次再结晶再结晶时取自少散晶粒优先快速成长，逐步吞没周围大量小晶粒最后形成非常粗大的组织为二次再结晶。

二. A-B=元素中的AB型键是通过共价键结合的。当它有序化后A原子和B原子在(0.02)层按一层A-层B排列。画出有序化示意图，并画出布拉维阵模型。



有序化后 布拉维阵
为简单单胞。



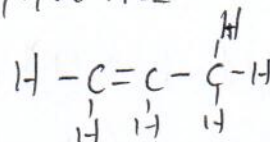
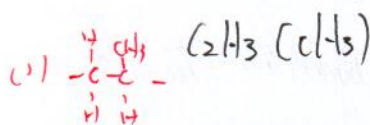
简单。

设A为○, B为● 顶点向方面心向

即 $a/2b=c$ $d=\beta=r=90^\circ$
但A与B明显原子半径不等, 即 $a/2b \neq c$, $d \neq r=90^\circ$

由面心向方面心向。但晶体学中要求原子更均匀地分布在晶格上，所以这时不是

三. 写出两个聚丙烯 (1) 无规立构 ($\text{CH}_3(\text{CH}_2)$) 和全同立构 ($\text{CH}_3(\text{CH}_2)_n$) 的结构式并说明理由。

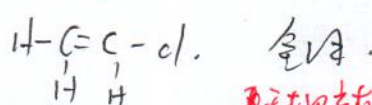
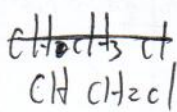


无规

因为环不完全相同, 因此可以把 A、B 在一起看做一个原子, 比如说 $\text{CH}_3(\text{CH}_2)_n$ 在空间排列后呈液体状态。

无规立构

后, 由面心向变成了四面体, 且是随机的



无规立构是更好的玻璃形成体材料。

首先通过结构式可以看出无规立构的线圈更复杂, 更容易在液体中形成缠结, 从而增加分子链的运动, 而且全同立构的高分子可以称为单规立构, 其次单规立构的单规高分子链上能取代其在空间中规则地排列, 所以分子链之间能紧密地聚集形成线团。单规高分子都有很好的结晶性和高熔点而且不易溶解。

相对来说无规立构更容易形成玻璃体。

四. 从石炭纪开始 -900°C 到石炭 1000°C 成本 1000 元 / 吨时 相同效果下, 从经济角度考虑, 那个温度更合理? 除经济效益外, 烧砖时还要考虑哪些因素?

$$P_{T,x,t} = P_s - \left[\frac{P_s - P_0}{2} \operatorname{erf} \left(-\frac{x}{2\sqrt{Dt}} \right) \right] = \frac{P_s}{2} + \frac{P_s - P_0}{2} \operatorname{erf} \left(-\frac{x}{2\sqrt{Dt}} \right).$$

烧石炭气氮为 P_s . $P_s \rightarrow P_0$. $P_0 = 0$.

$$P_{T,x,t} = P_s - (P_s - P_0) \operatorname{erf} \left(\frac{x}{2\sqrt{Dt}} \right).$$

当 $T=900^\circ\text{C}$ 时.

$$\frac{x_1}{x_2} = \frac{\sqrt{D_1 t_1}}{\sqrt{D_2 t_2}} = \frac{1}{1} \Rightarrow \sqrt{D_1 t_1} = \sqrt{D_2 t_2} \Rightarrow D_1 t_1 = D_2 t_2.$$

$$D = D_0 \exp \left(-\frac{Q}{RT} \right)$$

1 为 900°C 1000000

$$P_0 \exp \left(-\frac{Q}{RT_1} \right) t_1 = D_0 \exp \left(-\frac{Q}{RT_2} \right) t_2$$

$$t_1 = 1000000 \quad T_1 = 900^\circ\text{C} = 1173\text{K}$$

$$t_2 = 1000000 \quad T_2 = 1000^\circ\text{C} = 1273\text{K}$$

$$\exp \left(-\frac{Q}{RT_2} + \frac{Q}{RT_1} \right) = \exp \left(\frac{Q}{T_1} - \frac{Q}{T_2} \right)$$

温度更合适

2016-2

影响扩散的因素

- ① 温度 温度越高原子的热激发能越大，扩散越快。
- ② 晶体结构 晶体结构不同，固溶室不同，致密度小的扩散更快。
- ③ 固溶体类型 不同固溶体扩散机制不同，空隙扩散与空位扩散。
- ④ 缺陷 晶体表面晶界内表面扩散速度不同，缺陷对扩散起快速通路的作用。
- ⑤ 化学成分 火焰层高的原子自扩散激活能大，不易扩散。

⑥ 其他因素 如大的电场、弹力等都对扩散有影响。

在 1000°C 左右，注入 He 气后，会使重金属扩散系数过大，通常在 100°C 左右时

石墨钢进行碳化处理后扩散系数与纯钢无异。

除了强场角以外， 1000°C 时温度过高会引起重金属晶粒长大，导致材料的物理性质

(1) 列出所有可能扩散类型

扩散速率一般在 920°C 左右时扩散系数随温度而变。

(2) 画出 $\text{Fe}-\text{Ni}$ 的合金凝固组织随温度变化示意图。

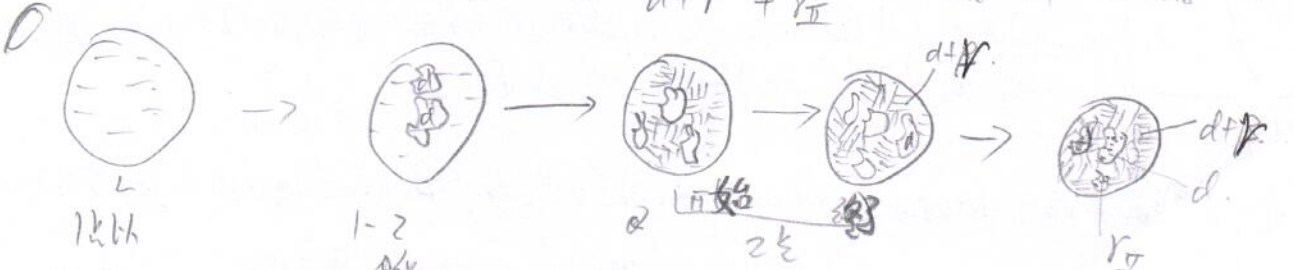
(3) 计算该合金在 1940°C 时平衡相图的相对量和组织组成物相对量。

(4) 该合金在实际浇铸图中获得了完全共晶组织 分析原因。

(1) $\text{L} \rightarrow \text{d} + \text{r}$ (共晶反应)

$\text{L} + \text{r} \rightarrow \beta$ (包晶反应)

(2) $\text{L} \rightarrow 4\text{d} \rightarrow \text{L} \rightarrow \text{d} + \text{r} \rightarrow \text{d} + \text{r} + \beta$



(3) 稍低于 1940°C 时 组成有 $\text{d} + (\text{d} + \text{r})$ 相有 $\text{d} + \beta$

$$\frac{0.35 - 0.2}{0.46 - 0.2}$$

$$d + r = \frac{0.46 - 0.35}{0.46 - 0.2}$$

$$\text{组织} \quad d \cdot \frac{0.4 - 0.35}{0.4 - 0.2}$$

$$\alpha + \beta = \frac{0.35 - 0.2}{0.4 - 0.2}$$

(4) 伪共晶 在平衡浇铸图中才能得到全部的共晶组织，然而在非共晶部分

原因：由于共晶中组成相的成分与液体合金不同，他们形核于长，都需要两组元的扩散。

而以低熔点为基的组成相与液体合金成分相差较小，则通过扩散而能进入到该组元的成分就比较大，其扩散速度较快，所以在共晶与低熔点相时，为提高两组元形成对扩散的

2016-3

要求 伪共晶区的位置以及 组偏向高熔点一侧，借此在注金本题。
能形成伪共晶区

六、(1) 均匀形核和非均匀形核曲径半径哪个大，为什么？
一样大。假设一定量的形核半径为 r $\Delta G = \frac{4}{3}\pi r^3 \Delta G_V + 4\pi r^2 \sigma$

一定情况下， ΔG_V 和 σ 是常数。 ΔG 是 r 的函数。

临界形核半径 可通过求极值得到 $\frac{d\Delta G}{dr} = 0$ 得 $r^* = -\frac{2\sigma}{\Delta G_V}$ $\Delta G_{V0} = -\frac{4\pi\sigma^2}{T_m}$

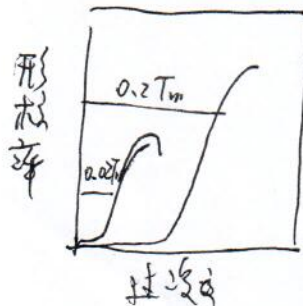
非均匀形核 $r^* = -\frac{2\sigma}{\Delta G_V}$ $\Delta G = \left(\frac{4}{3}\pi r^3 \Delta G_V + 4\pi r^2 \sigma\right) \left(\frac{2^{-3\ln r + \ln r^*}}{r}\right)$
由此可得 非均匀形核等于均匀形核的临界曲率半径相同。

(2) (由于均匀形核形成球状
非均匀形核形成球冠状) 可以从上述 ΔG 中看出

均匀形核功大。因为非均匀形核是依靠外来表面使形核界面能降低，在较低过热度中即可
而均匀形核必须在一定过热度中形成，还需要较高的起伏才能提供均匀形核的能量。

(3) 非均匀形核 ~~和均匀形核率~~ 不一定比均匀形核率时更大。理由：

如图所示均匀形核和非均匀形核率随过热度变化的对比示意图。



由图可以看出，在一定过热度范围内，非均匀形核率更大，但均匀形核率约在 $0.2 T_m$ 时已达到峰值，而形核率开始下降，而均匀形核的形核率在 $0.2 T_m$ 时才达到最大。
因此当过热度超出 $0.2 T_m$ 时，均匀形核的形核率有可能更大，所以非均匀形核的形核率不一定比均匀形核时的更大。

七、为什么会发生晶界偏析。根据图 1-22 Cu 和 Au 完全互溶，Sb 和 Bi 在 Cu 中最大溶解度分别为 10^{-2} 和 10^{-4} ，比 Cu-Au Sb 在 Cu 中晶界偏析程度高 100 倍，试简要解释。

1. 为什么发生晶界偏析

偏析是指化学成分的不均匀性。合金条件在不同程度上均存在着偏析。这是由组织的稳定性所决定的。

合金元素或杂质原子富集在最后凝固的边界处。

晶界偏析有两种 $\begin{cases} \text{一种是过热过程中形成的晶界偏析} \\ \text{另一种杂质原子在弹性驱动下自发地原子排列成什么叫做晶界偏析} \end{cases}$

当 $K_c < 1$ 时，合金在凝固时使液相富含溶质组元，又当相界面生长至相遇于液相时，把富含该元素的液体集中在晶粒间，凝固成为具有杂质偏析的晶界。

2. 千兆率 提高温度反而更严重

Au、Sb 和 Bi 在合金中的晶界偏析程度大小排序为 $Bi < Sb < Au$

一般来说，晶界结构比晶内松散，具有一定的表面效应，溶质原子处在晶内的能量比处在晶界的能量要高，所以溶质原子有向晶界偏聚的趋势这就发生晶界偏析，是为了使体系能量更低（晶界处溶解度变低，存在着~~晶界能~~晶界吸附使面积减小，体积降低而降低）因此在晶界偏析的溶质原子越到晶界偏析越严重。

影响晶界偏析的因素 提高温度反而更加严重，在晶内和晶界的能量差越低，但是却不能影响晶界偏析的因素

① 溶质含量越高，偏析程度越大，但不会降低，无法完全消除。

② 非对称枝晶生长使晶界偏析程度增加。（枝晶的偏析可减少晶界的偏析）

原因：由于枝晶尖端深入液体中，但枝晶间仍存液体残余，所以枝晶主要依靠枝晶之间的液体来吸收扩散而扩展，导致使液体已半偏析的程度为零。这样枝晶间液体浓度逐步增大，与其相对的枝晶则降低，凝固时间会拉长。

③ 枝晶速度慢使溶质原子有足够的时间扩散并富集在液固界面前的液体中从而增加晶界偏析程度。

晶界偏析往往容易引起晶界破裂。

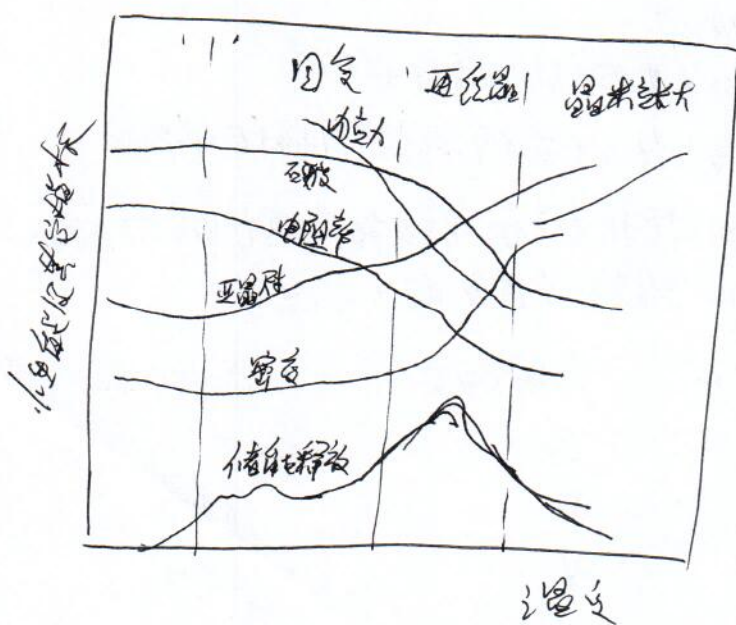
方法 控制溶质含量 加第三种元素来减小晶界偏析的程度

11. 下表是某合金（假设合金不发生固态相变）浇注后在不同退火温度下小时压电系数。

屈服强度和晶粒尺寸随温度而变化，根据表中的实验数据估计因数，再结合与晶粒尺寸的温度，并说明理由，推荐一个适当的浇注温度。

退火温度 $^{\circ}\text{C}$	电系数 $\text{ohm}^{-1} \text{m}^{-1}$	屈服强度 (MPa)	晶粒尺寸 mm
400	3.04	86	0.100
500	3.05	85	0.100
600	3.36	84	0.100
700	3.45	83	0.098
800	3.46	52	0.30
900	3.46	47	0.31
1000	3.47	44	0.070
1100	3.47	42	0.120

1. 固溶是指新的无固溶杂质出现之前所产生的一系列物理和化学的变化阶段。在固溶阶段，由于不发生大角度晶界的迁移，所以晶粒的平均大小和不变形前相同。保持纤维状或者扁平状，从光学显微镜测出的尺寸不变。而使金属的电阻率在固溶阶段会表现出明显的下降趋势，所以电阻率明显上升，因为电阻率与晶体中的点缺陷密度相关。~~但是~~点缺陷引起的点阵畸变会促进电子产生散射，提高电阻率。
- 所以根据表格数据观察可知，固溶温度为 600°C 。
2. 时效期是指出现无固溶杂质新晶粒逐步取代变形晶粒的过程。如图所示，固溶阶段强度变化很小，而时效期阶段下降很多。这种情况主要是金属中的位错机制有关。固溶阶段，变形金属保持很高的位错密度，而发生时效后，由于位错密度显著降低，强度明显下降。根据表格可知，时效期温度是 820°C 。
3. 岗斯长大阶段在晶界表面能的驱动下，新晶界会互相吞食生长，从而得到一个在该条件下较为稳定的尺寸。根据表格可知，晶粒长大温度在 1000°C 。



2016-6

高分子结晶学

1. 相似性

- (1) 高分子尺寸与温度影响/过冷度：过冷度大，晶体颗粒大，过冷度小，晶体颗粒小。
过冷度小时形成的大颗粒晶片较厚，晶片内部缺陷较少。但晶片之间联结较少。
过冷度大形成小颗粒晶片较薄，晶片内部缺陷较多，但晶片之间和链段之间的联结强度增加。
联结强度增加可提高结晶高分子的力学强度。

(2) 高分子的结晶过程包括形核与长大。

均勻形核：以本体中高分子链段运动形成有序排列的链束为晶核。

非均勻形核：以外来的杂质，未完全熔化的残余结晶高分子，分相的小颗粒或气泡的型壁为中心，叫附本体中高分子链作有序排列而形成晶核。

(3) 非均勻形核后需过冷度较小的形核。

2. 差异性

高分子结晶具有不完全性。

(1) 链段的对称性：

高分子链段的对称性越高越易结晶。(聚乙烯 对称性强 极易结晶)

(2) 链段的规则性：

对于主链型完全无规，不如对称性的高分子一般都阶段地结晶。

(3) 链段的柔顺性与聚集态

两种或两种以上不同单体分子形成的高分子称为共聚物。无规共聚通常会破坏链段的对称性和规则性，从而使结晶能力降低甚至丧失。

(4) 链段的柔顺性：

链段的柔顺性是结晶时链段的结晶表面扩散和排列所必需的。

因此使链段的柔顺性降低的因素，均会降低高分子的结晶能力。

(5) 热塑高分子与分子量、温度、加热速率和升温速度

原因：高分子链段键长所致。通常降温速度慢以使高分子中的链段充分扩散结晶。

高分子的分子运动

分子链运动起因：主链单键的旋转

单键的内旋转是导致高分子链产生热运动的原因，因此高分子的柔韧性随单键的数目而增加。

影响因素：

① 温度 温度越高 分子运动就有足够的动能

② 结构因素 (柔顺性的结构因素)

1) 单键结构 单键旋转好，柔顺性好。共价键 双键键

2) 取代基极性 极性越强，其相互间的作用力越大，内旋转困难，柔顺性差

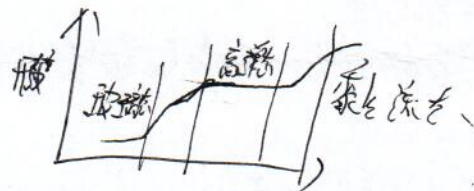
3) 链连长短 分子链越长，内旋转的单键数越大

4) 支链度 高分子链间被支联，支联会限制单键的旋转

5) 端基度 链端间受端基能束缚，相互作用力大，故几乎无柔顺性。

线性非晶高分子

玻璃态



高分子材料随着温度的降低会发生由液体向玻璃态的转变。这个转变称为玻璃化转变，它的转变温度称玻璃化温度。

如果高分子材料温度升高，则高分子将发生由玻璃态向液体的转变，其转变温度称为柔流温度。

而在室温以下的是橡胶 室温以上是塑料。

北京科技大学

2015年硕士学位研究生入学考试试题

试题编号：814 试题名称：材料科学基础
说明：所有答案必须写在答题纸上，做在试题或草稿纸上无效。

一、解释下列术语并进行选择（每小题 6 分，共 42 分）

- 电子化合物： $MgCu_2$ 相和 $CuZn$ 相哪个是电子化合物？
- 脱溶惯序： $Al-2\%Cu$ 和 $Al-4\%Cu$ 哪个脱溶速度快？
- 玻璃化温度：冷速越快，玻璃化温度越高还是越低？
- 组分过冷：其他参数固定时，液相扩散系数大的合金容易出现组分过冷还是扩散系数小的？
- 施密特因子（取向因子）：FCC 金属沿 $\langle 100 \rangle$ 方向拉伸的施密特因子大还是沿 $\langle 124 \rangle$ 取向大？
- 形变织构：丝织构的表示方式是 $\{hkl\} \langleuvw\rangle$ 还是 $\langleuvw\rangle$ ？
- 聚合物的构型：无视线团模型和全同立构，哪个是描述构型的术语？

二、晶体结构（20 分）

- 如图 1 为两种 A-B 二元合金相晶胞（类似于 $NaCl$ 和 $CuAu$ 结构），分别抽象出其空间点阵，并写出结构基元。

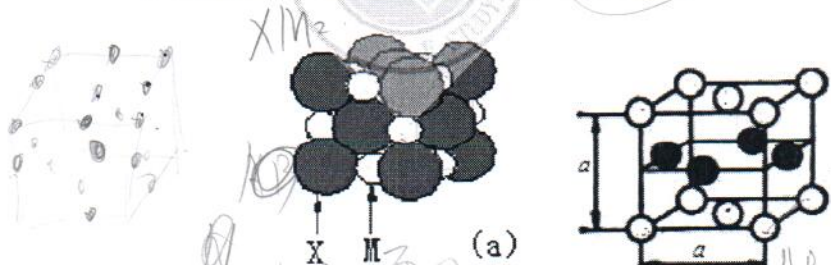


图 1 两种 A-B 二元合金相晶胞示意图

- 对图 1 (a)，用原子（离子）半径表达出的点阵常数 a ；给出晶胞中的原子（离子）个数。指出小原子（或正离子）的配位数是多少？
- 分别指出两种合金 A、B 原子完全无序占位时的晶体结构？并说明原因。

A 为简单立方
B 面心立方

2015



三、晶体缺陷 (25 分)

1. 在点、线、面三种晶体缺陷中，它们在晶体中的出现都是热力学稳定的吗？为什么？

2. 各举出一个例子分别说明如何在晶体中大量引入这些缺陷？

3. 滑移和孪生的异同点？

4. 点缺陷与线缺陷，点缺陷与面缺陷，线缺陷与面缺陷相遇会发生什么？

四、固体中的原子及分子运动

1. 写出菲克第一定律的内容及式中字母的含义以及单位。

2. 一块厚度为 d 的薄板，在 T_1 温度下两侧的浓度分别为 c_1 ， c_0 ($c_1 > c_0$)，扩散到稳态后，温度为 T_2 ，稳态浓度为 C' ，若扩散系数为常数 D ，求扩散在稳态时的扩散流量。

3. 影响扩散的因素以及如何影响？

五、材料的形变和再结晶

1. 画图表示退火孪晶的示意图，并描述退火孪晶的形成原因。

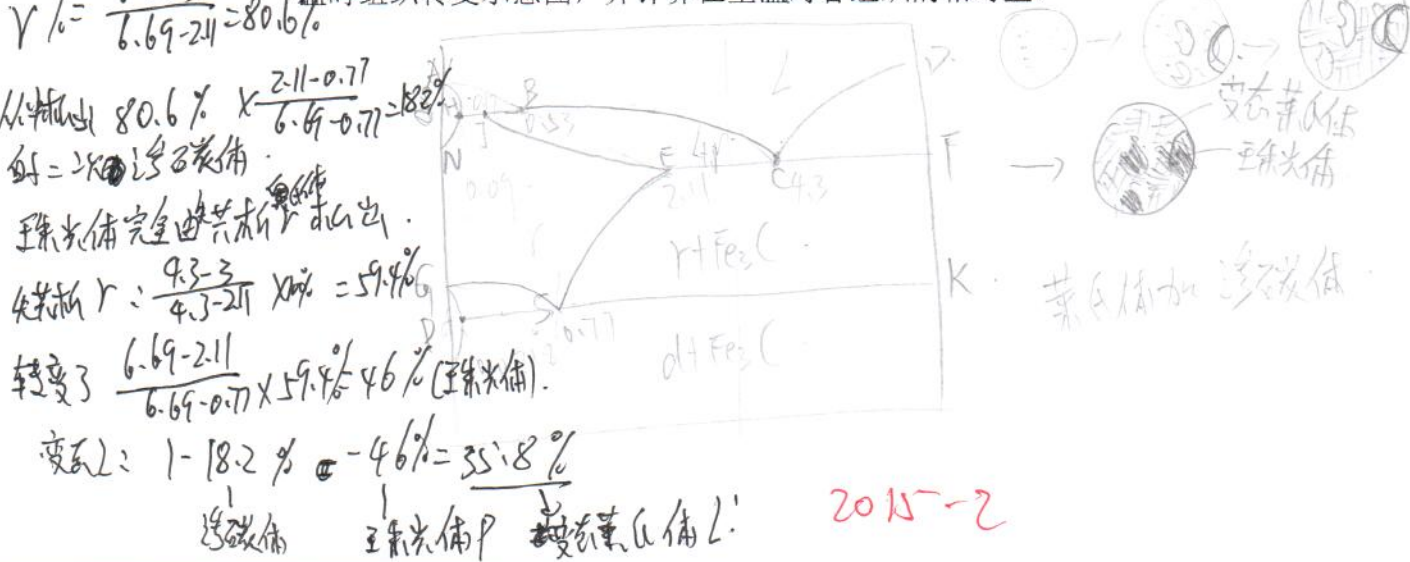
2. 轧制是现代材料加工技术中的重要工艺，简述温度对轧制工艺的影响，并描述退火孪晶的轧制温度。

六、相图 (20 分)

1. 画出铁碳相图，并标注各温度下的组织成分及写出等温反应式。

2. 画出在铁碳相图中 3.0 wt% C 亚共晶白口铸铁从液相缓慢冷却到室

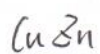
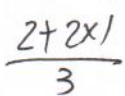
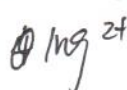
温时组织转变示意图，并计算在室温时各组织的相对量。





2015

电子化合物：中间相的一种，~~中间相~~ 电子浓度是决定它晶体结构的主要因素。具有相同电子浓度的相有相同的晶体结构。电子化合物用化合物中每个原子所占有价电子数（即价数）表示， $\frac{21}{12}$ 乏相 $\frac{21}{13}$ γ相 $\frac{21}{14}$ β相。

Cu₂-Pd

脱溶顺序

当固溶体由于温度变化的原因形成过饱和固溶体时，将首先分解为简单，从而形成新相。而在脱溶过程中一般不能析出平衡相，而是通过亚稳态的过饱和逐步地被溶解。

这些过饱和相的析出具有一定顺序称为脱溶顺序。

玻璃化温度：如果材料从液体冷却的速度较大，没有时间进行结晶，则在熔点以下以过冷液体形式继续冷却，当液体冷却到某一温度后，原子从非定域的运动状态开始向定域的运动，原子被冻结在无序状态，体积随温度降低而减小，分子链转动的温度称为玻璃化温度。自由体积不再变化，即为玻璃态。曲线发生转折的温度称为玻璃化温度。

组成过冷：其他参数固定时，液相扩散系数大的组元优先扩散，还是扩散系数小的组元优先扩散，即成分过冷；纯金属中界面前沿液体的实际温度低于由该原分布所决定的该组元温度产生的过冷。

扩散系数小的先算出其成分过冷

~~④ 施密特因子：外力在滑移面上沿着柏氏矢量方向的分切应力 τ_{Schmidt}~~

拉伸变形时，能够引起晶体滑移的分切应力的大小，取决于滑移面和晶面的交角位置（ α 和 β ）拉伸应力场间的关系 $\tau_k = 6s \sin \alpha \sin \beta$ 由此被称为取向因子。

或称施密特因子，取向因子越大，则分切应力越小。

<100> 取向因子大

对于 Fcc 其密排方向为 <100> 在密排方向上分切应力，取向因子

密排平面 <112> 取向因子大

FCC

111 面
滑移<110>

$$m_{\phi_1} = \frac{\langle 110 \rangle \langle 100 \rangle}{\sqrt{2}} = \frac{\sqrt{2}}{2} \quad m_2 = \frac{\langle 111 \rangle \langle 100 \rangle}{\sqrt{3}} = \frac{1}{\sqrt{3}}$$

$$m_{\phi_2} = \frac{\langle 1\bar{1}0 \rangle \langle 124 \rangle}{\frac{\sqrt{2}}{2} \cdot \frac{1}{\sqrt{3}}} = \frac{-1}{\sqrt{2042}} \quad m_2 = \frac{\langle 111 \rangle \langle 124 \rangle}{\sqrt{3} \cdot \sqrt{1+4+16}} = \frac{1}{\sqrt{63}}$$

$$\frac{\sqrt{2}}{2} \cdot \frac{1}{\sqrt{3}} = \frac{\sqrt{6}}{6} \quad \frac{1}{\sqrt{2042}} = \frac{\sqrt{6}}{18}$$

$$= \frac{1}{3\sqrt{7}} = \frac{\sqrt{7}}{21}$$

2015-1

形变机制：④ 塑性变形中随着变形程度的增加，各个晶粒的滑移面和滑移方向都要随主变形方向转动，通过使各晶体质点取向不相同而各晶粒在空间取上一定位置上的规律，即择优取向。这种现象称为形变织构。

拔丝时形成的织构称丝织构 $\langle UUV \rangle$

聚合物的构型

单体通过聚合作用连接成链状聚物，由化学键固定的原子之间非共价键称为构型

全肢构述构型的术语

三. 不都是热力学稳定的

点缺陷，如空位间隙的杂质或浅质原子是热力学稳定的。

点缺陷只是温度的函数，当温度一定时，点缺陷的多少是一定的因此整体点缺陷在热力学上是稳定的。一方面点缺陷的存在引起了点阵畸变降低了热力学稳定性另一方面引起使密度增加增强了热力学稳定性。

线缺陷含杂质链是不稳定组织缺陷。位错在外加应力下运动，位错相关的应变能导致系统自由能的增加远大于能量增加所引起的组织自由能的减少。

从位错和点缺陷的不同是热力学上不稳定的。晶界处的缺陷量大而且种类多如晶界相界孪晶界堆垛层错是不稳定的缺陷。晶界处的缺陷量大而且种类多如晶界相界孪晶界堆垛层错。原子偏离平衡位置具有较高的能量。

因此属于不稳定的点缺陷

点缺陷：高能颗粒辐射。高温淬火冷变形加工。

线缺陷：塑性变形

面缺陷：塑性变形

相同样都限塑性变形的结果。都不改变晶体类型。

滑移：晶体的一部分相对另一部分沿一个面上滑面和晶面进行相对的切变。

孪生：晶体的一部分相对另一部分沿一层的晶面和晶面进行均切变不改变晶体类型。不改变晶体取向，在表面出现台阶。

不改变晶体类型，不改变晶体取向进行均切变不改变

孪生：晶体的一部分相对另一部分沿一层的晶面和晶面进行均切变不改变晶体类型。但改变晶体取向形成沿一个晶轴成镜面对称的关系。

位向
位移量
塑性变形前
变形后

滑移

不改变

大
有确定的晶界扩散

失稳滑移

孪生
改变

大

比滑移大

塑性变形前

变形后

塑性变形前
变形后

7015-7 不全位错运动的特性

⑦ 菲克第一定律表达式 $J = -D \frac{dp}{dx}$

菲克第一定律表示 扩散物质的扩散通量与质量浓度成正比.

J 表示扩散组元通过垂直于扩散方向 x 的扩散物质的质量.

D 表示扩散系数 其值表示由高浓度向低浓度扩散.

3. 影响扩散的因素

- ① 固体结构 固体结构不同 固溶度不同 故扩散系数也不同 扩散快
- ② 固溶体类型 不同固溶体 扩散机制不同 置换固溶体 空位机制 间隙固溶体间隙机制
- ③ 温度 温度越高 扩散速率越大 越易扩散.
- ④ 化学成分 热运动的扩散系数大 不易扩散.
- ⑤ 金属缺陷 金属缺陷对原子扩散起快速通道的作用.
- ⑥ 其他 大的磁场 电场等.

金属缺陷与线缺陷

偏振光

金属缺陷扩散到大角度晶界上，使晶界能量进一步降低。晶界处原子排列疏松，动能大，扩散速度加快，促进晶界运动。金属缺陷与线缺陷相遇，即能促进扩散到晶界。

五 退火孪晶形成的原因：一般认为退火孪晶是在晶粒生长进程中形成的。如下图所示，当晶粒长大时，

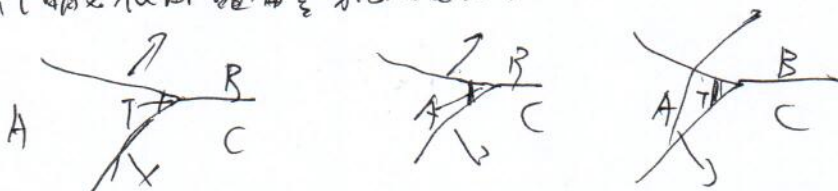
晶粒在运动而重新分布时，原子层在晶界角处(111)面的堆垛顺序依然遵循由ABCABC...改成ABCBACBAC...变化，从而形成一个共格孪晶界，并限制在晶界附近形成退火孪晶。这就是长

孪晶的通过大角度晶界的运动而长大。

在长大进程中，如果原子(111)面再次发生错位堆垛，进入新堆垛原来的堆积顺序，在长大进程中，如果原子(111)面再次发生错位堆垛，进入新堆垛原来的堆积顺序，

且又会形成一个孪晶界，这样就会形成孪晶带。当退火孪晶必须满足的条件。

层错能低时，晶体容易形成退火孪晶。



钢属于奥氏体状态时具有良好的塑性变形能力，所以钢的轧制一般选择在奥氏体单相区中适当的温度范围内进行，一般开始轧制温度控制在固相线以下 100°C - 200°C 不能过高，以免引起钢的氧化严重，过低会使轧制温度也不能过高或过低。

以免奥氏体粗大或钢析出温度低于再结晶温度，导致奥氏体晶粒变细，退火率高的轧制温度控制在 700°C - 850°C

低 \rightarrow 再结晶温度
高 \leftarrow 奥氏体粗大。

六 在试卷上

2015-④

北京科技大学

2014 年硕士学位研究生入学考试试题

试题编号: 814 试题名称: 材料科学基础 (共 3 页)

适用专业: 材料科学与工程, 材料工程 (专业学位)

说明: 所有答案必须写在答题纸上, 做在试题或草稿纸上无效。

一. 简述题 (5 分/小题, 共 30 分)

1. 再结晶温度 < 最低温度

分子相达到物理化学平衡, 工业上升温 70% 经 1h 退火 完成 95% 的最低温度。

不随时间变化而变化。相平衡条件 溶液不随时间而变化即分子相中化学势相等。

热力学: 合成相的 3. 上坡扩散 低浓度 → 高浓度 可能原因 弹性应力, 温度, 大的扩散率。

温度压力相等 位-组元在分子间点阵 三价空间规则排列的阵列 因完全相同的周围环境。

相平衡化学势相等 体系组织的自由能最小。

动力学: 速率常数满足 5. 堆垛层错 在密堆积面上原子的周期顺序出现破坏或错排而导致其完整性被破坏。

能量传递的要求 6. 临界分切应力 固体在切应力下发生滑动 但并不是所有的滑移条带同时运动 当某一滑移条带运动到临界值时, 该滑移条带首先发生滑动, 这一临界值

二、分别回答后述几个问题: 1. 指出金属液相结晶时的热力学条件, 它一定于空间无关

$$\Delta G_f = \Delta H_f - T \Delta S_f$$

需要过冷吗? 为什么? 2. 如何确定液相结晶时的临界晶核半径, 在相同材料的条件下, 在熔化时的温度不足以使其结晶或液固。

$$\Delta G_s - \Delta G_l < 0$$

的过冷度下, 均匀形核与非均匀形核的临界晶核半径和临界晶核形成能哪

大? 为什么? 3. 反过来, 结晶金属熔化时一定需要过热吗? 为什么?

4. 能否用经典形核理论讨论再结晶的形核, 为什么? (20 分)

不能 再结晶不是形核

$$\Delta S_f - \Delta H_f = -\frac{\Delta G_f}{T_m}$$

$$\Delta S_s - \Delta H_s = -\frac{\Delta G_s}{T_m}$$

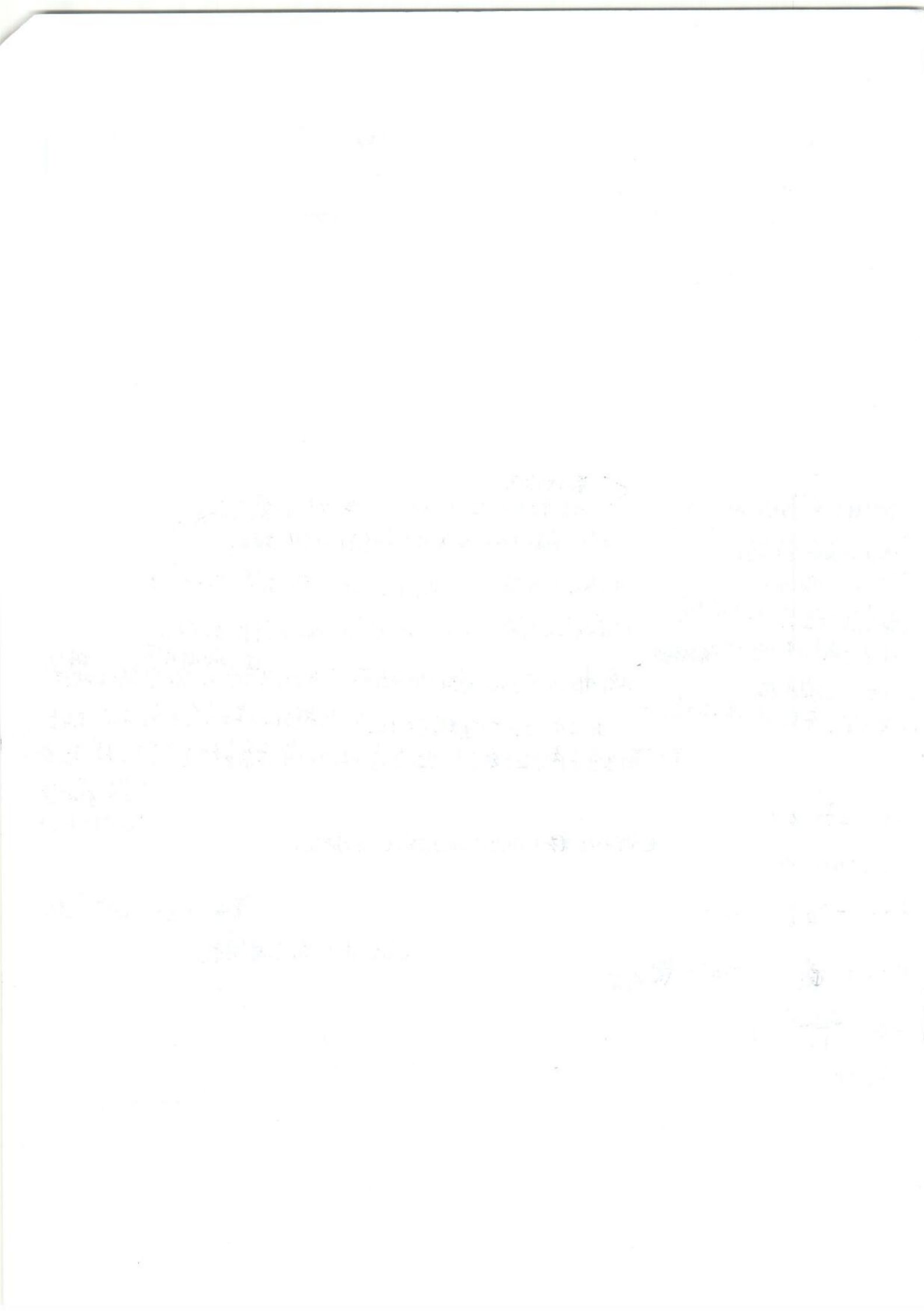
三、回答以下问题: 1. 晶体缺陷主要有哪几种? 2. 其中点缺陷主要有哪两种?

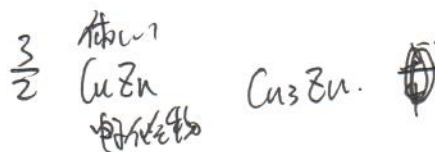
$$\Delta G_s = -\frac{\Delta H_s \Delta T}{T_m} < 0$$

有哪些方法或手段可提高其数量? 3. 当点缺陷扩散到刃位错周围时, 会

出现什么现象? 位错的运动受到怎样的影响? 4. 如果点缺陷扩散到一般

大角晶界上, 又会出现什么现象? 晶界的运动受到怎样的影响? (20 分)。





四、图1为由A、B原子组成的一个晶体单胞，点阵参数 $a=b=c$, $\alpha=\beta=\gamma=90^\circ$;

回答下列问题：1. 如果A、B原子可以随机占据所有可能的位置，该晶胞对应哪种布拉菲点阵？2. 如果A只在(0,0,0)位置，B只在(1/2,1/2,1/2)

位置，又对应哪种布拉菲点阵？3. 下列单质及化合物中哪些具有上面涉及到的晶体结构？Mg, α -Fe, γ -Fe, Cu, Cu_2Zn , Cu_3Zn , CsCl；4. 两种情况

下， $\{100\}$ 的面间距各是多少，用点阵常数表示；可能的位错柏氏矢量又分别是什么？5. 各结构对应的强度及塑性相对高低可能是怎样的，给出理由。(20分)

$$\begin{aligned}
 & \text{面心 } \{111\} \times \{110\}_3 = 12 \\
 & \text{体心 } \{110\}_6 \times \{111\}_2 = 12 \\
 & + \{112\}_{12} \times \{111\}_1 = 12 \\
 & + \{1123\}_{24} \times \{111\}_1 = 12 \\
 & \frac{48}{48}
 \end{aligned}$$

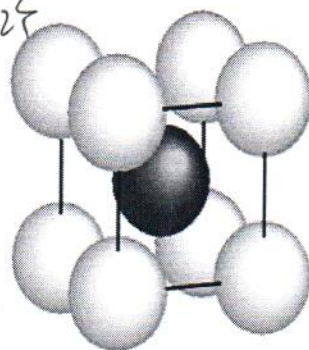
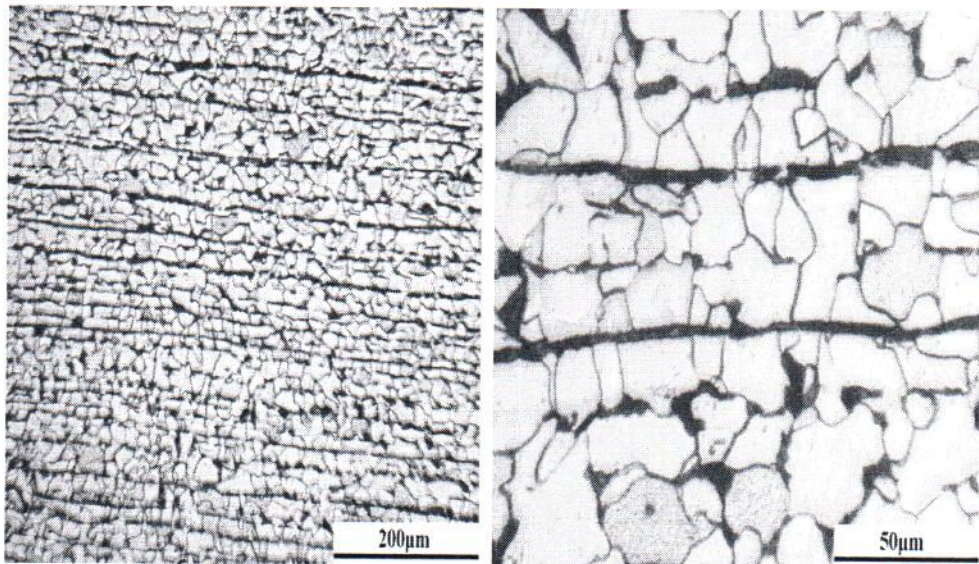


图1 白色为A原子，黑色为B原子

$$\begin{aligned}
 & \text{面心 } d = \frac{a}{\sqrt{3}} = a. \quad \frac{a}{2} < 110 \\
 & \text{体心 } d = \frac{a}{2} = a. \quad a < 100 \\
 & \text{位错 } \tau_{AB} = \frac{2\pi r}{1-\nu} \exp\left(\frac{\pi r}{1-\nu}\right)
 \end{aligned}$$

五、下图是低碳钢热轧板带状组织的金相和扫描电镜照片。从凝固、热加工及冷却相变等方面，分析带状组织的形成原因及可能的控制方法。(15分)

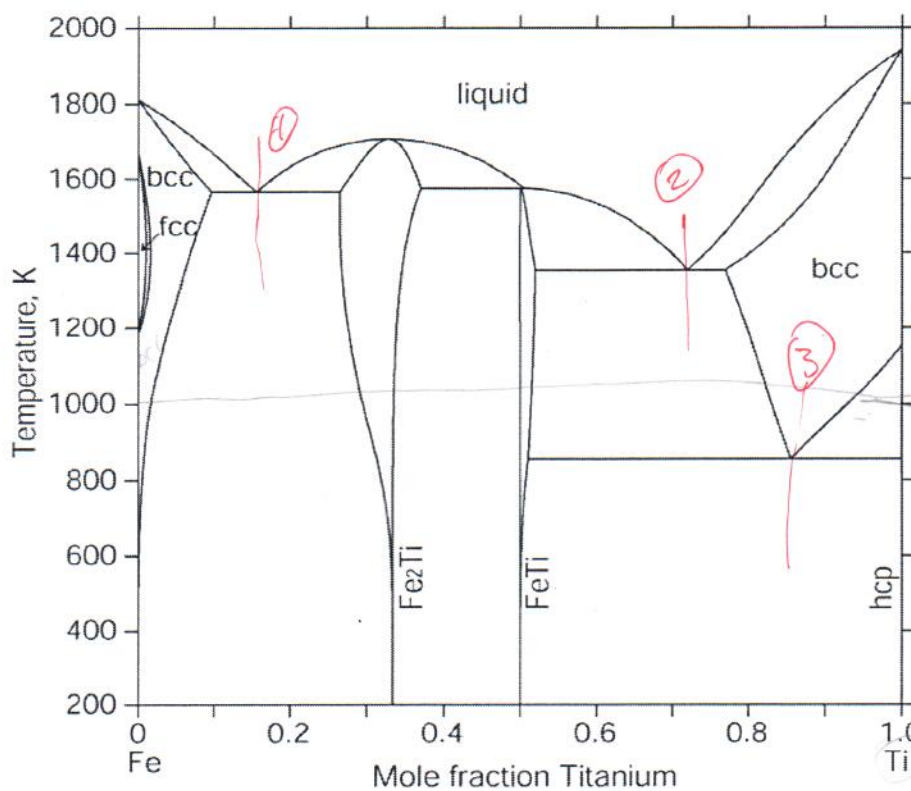


↗ 夹杂物
 ↙ 两相区变形



六、根据下面所附的 Fe-Ti 相图[CALPHAD, 38 (2012) 155–160], 写出该体系随着温度的降低, 所涉及到的三相反应; 同时示意画出由大块纯 Fe 和纯 Ti 制作的扩散偶在 1000 K 保持足够长时间后, 扩散层中的成分分布曲线, 并标注相对应的相。(20 分)

$$f = C - P + \delta = 1 - P \xrightarrow{\text{P} \approx 0} f = 0 \\ \Rightarrow f = 0 \\ P = 1$$



七、分析 Al-Cu 合金中以 Al 为基过饱和 α 固溶体在不同温度进行退火时发生的脱溶过程。(10 分)

八、块体非晶形成能力 (GFA) 判据研究目前是一个非常活跃的领域。A.Inoue [Acta Mater., 48(2002) 279.] 总结的块体非晶合金成分经验规则: 1) 多于三种元素组成的多元合金体系; 2) 构成合金体系的元素原子尺寸差较大, 主要元素之间的尺寸差比高于 12%; 3) 三个主要组元之间的混和焓为负值等得到非晶研究者的广泛认同。从非晶形成热力学、动力学、原子结构及堆垛拓扑关系等方面讨论 Inoue 规则为何具有较好的适应性。(15 分)



九、图 6 为 3 个不同成分 (0.45% C, 3.4% C, 4.7% C) 的铁碳合金缓冷凝固组织
(硝酸酒精浸蚀样品)，回答以下问题 (共 20 分)。

1. 说明每个图对应的是哪个成分的合金，为什么？
2. 分析图 6(c) 中组织的凝固过程，并计算该合金中白色长条状组织的重量相对量。

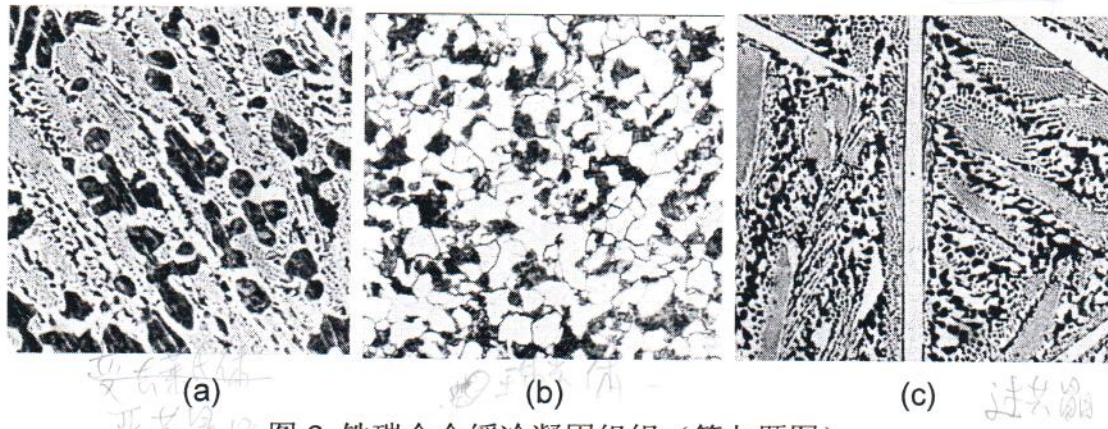


图 6 铁碳合金缓冷凝固组织 (第九题图)

$$\text{Fe}_3\text{C} \% = \frac{4.7 - 4.3}{6.69 - 4.3} = 16.7\%$$



1. 再结晶温度.

经冷变形的金属，出现再结晶时最低温度称再结晶温度。可用金相法和硬度法测定，即在显微镜下出现第一颗再结晶晶粒时的温度，在工业上以经过大的变形量（大于70%）的金属经1小时或硬度下降50%完成再结晶95%以上的温度称再结晶温度。

2. 相平衡条件

指反应中各个相达到物理化学平衡不随时间而变化。

满足热力学条件和动力学条件。

热力学条件：在各相中温度压力都相等，各相的化学势相等。

动力学条件：满足能量传递和物质传递的要求，冷却速度极少量。

根据拉普朗热方程 $f = C - PT^2$. f 为自由度 C 为组分数 P 为压强 当 $f=0$ 时达到相平衡

3. 上坡扩散

扩散的驱动力是化学势的降低。在通常情况下化学势梯度与浓度方向一致表现为下坡扩散即由高浓度向低浓度扩散，当化学势梯度与浓度梯度方向不一致时就表现为上坡扩散即由低浓度向高浓度扩散。

4. 空间长阵。

理想晶体并按其中每个质点 分布，这些质点具有将实际晶体抽象为规则排列于空间的倾向。这种由它们在三维空间中规则排列的阵列有完全相同的几何环境，这种由它们在三维空间中规则排列的阵列称为空间长阵。

5. 扭曲层错。

在实际晶体结构中堆积面上的原子遭到破坏或错排称扭曲层错，层错并不改变周围原子的排列但破坏了晶体的完整性。

6. 临界分切应力。

晶体的滑移在临界分切应力下进行，但其中许多滑移系并非同时发生滑移，只有当某一滑移系中分切应力达到一个临界值时该滑移系方可首先发生滑移。该分切应力称为滑移的临界分切力，其取决于壳。

二

1. 一定需要过冷度

$$\Delta G = \Delta H - T\Delta S \quad \text{由液相到固相转变的单位体积自由能变化为 } \Delta G_v, \text{ 即 } \Delta G_v = \Delta G_s - \Delta G_l$$

$$\Delta G_v = (H_s - H_l) - T(S_s - S_l)$$

$$\text{恒压 } \Delta H_p = H_s - H_l = -L_m \quad \Delta S_m = S_s - S_l = \frac{-L_m}{T_m}$$

$$\Delta G_v = -\frac{L_m \Delta T}{T_m} \quad \Delta G_v < 0 \Rightarrow \Delta T > 0 \quad \text{即 } T < T_m$$

晶体生长时的热力学条件表明，实际凝固温度应低于 T_m ，即需要过冷度。

2. 临界晶核形成半径一最大值。

在晶核形成过程中，一方面由液体聚集为晶核的排列状态使体系自由能降低；另一方面，晶核形成新界面，又会引起已界面自由能升高，此为结晶阻力。假定晶核为球形，半径为 r ，当对液体半径 R 增加一个晶核时，总自由能变化 $\Delta G = \frac{4}{3}\pi r^3 \Delta G_v + 4\pi r^2 \sigma$

一定温度下 ΔG_v 与 σ 是定值， ΔG 是 r 的函数。 ΔG 随 r 变化如图

ΔG 在 r^* 时达到最大值，当 $r < r^*$ 时，则其长大将导致体系自由能的增加。

$r > r^*$ 时，其长大将导致自由能下降，这些晶核就成为稳定的晶核。

$$\text{由 } \frac{dG}{dr} = 0 \quad \text{得 } r^* = -\frac{2\sigma}{\Delta G_v} \quad \Delta G_v = -\frac{L_m \Delta T}{T_m}$$

$$\text{而非均匀形核 } r^* = -\frac{2\sigma_{dc}}{\Delta G_{dv}} \quad \Delta G = \left(\frac{4}{3}\pi r^3 \Delta G_v + 4\pi r^2 \sigma_{dc}\right) \left[\frac{2-3\sigma_{dc}/\sigma}{4}\right]$$

因此均匀形核半径 r^* 与非均匀形核半径 r^* 一致。

但由平均形核半径与非均匀形核半径一致但均匀形核形成球状颗粒的形核为球冠状，因此均匀形核半径较大。

3. 一定需要过热。处于过热的状态，既不能完全融化，也不能完全结晶。只有高过热度才能进行完全融化。（与第一题类似反过来谈）。

④

4. 不能用经典形核理论计算过冷度的形核。因为过冷度不是形成新相。

过冷度形核是在变形基体上形成新的无扩散再结晶形核。依据变形度大小，分为两种形核机制。~~亚晶~~ 过冷度形核及亚晶形核。

形核驱动力是变形金属中未被释放的储存能，而经典过冷度形核的驱动力为分布于晶界的应力。

随着时效进一步发展（温度升高或时间过长），~~“固溶体变成合金”~~，~~“固溶体变成CuAl₂”~~，这时以粗颗粒形式存在的Al由富铝区向富铜区扩散，从而周围富铜的共格固溶体对位错的阻碍作用减小，因此会使扩散速度开始降低，富铝区的尺寸大于扩散阶段。

如果继续用时效过长时间，则从A1基固溶体中完全脱溶形成于固溶体有固溶体而侧方生长的CuAl₂成为θ，这样于固溶体完全失去共格关系，共格关系被破坏之后，导致合金的强度和屈服强度进一步下降，直至形成粗大的共格于固溶体的CuAl₂和第二相粒子 CuAl₂(θ)和β。

三、1. 晶体缺陷包括：点缺陷、线缺陷、面缺陷。
1. 点缺陷 $\left\{ \begin{array}{l} \text{肖脱基缺陷}：正常阵列线上原子跑到晶体内表面，在晶体内形成空位。 \\ \text{弗兰克尔缺陷}：正常阵列线上的原子跑到晶粒间隙在晶体内形成空位与间隙原子。 \end{array} \right.$

提高数量的方法：①受力②高能粒子辐射③高温淬火。
点缺陷：是指晶线上或者微区区域内的偏离原位（以Al位错为例），滑移面上六是压应力
2. 线缺陷：是指位错周围，因为位错周围产生弹性应力，所以间隙原子会跑到滑移面上以抵消部分或全部的拉应力，使体系自由能下降，使位错下方为拉应力，间隙原子一般比间隙大，会产生弹性应力，使体系自由能下降，使位错会跑到滑移面上以抵消部分或全部的拉应力。（柯氏气团、屈服软化）
3. 面缺陷 不易运动。（柯氏气团、屈服软化）
当位错扩散到位错周围，会使位错运动。（位错攀移）
(由于虫害，虫害气团、点缺陷气团)。

4. 如果点缺陷扩散到一般大晶界上。
间隙原子扩散到晶界会被吸附住，因为晶界有高能量，晶界吸附晶界扩散，同时间隙原子在晶界具有最大的扩散都是自发的，因此扩散较慢，间隙原子存在会致使晶界处运动因此在此处扩散扩散较慢，间隙原子存在会致使晶界处运动受阻，使晶界迁移率下降。

5. 点缺陷扩散到大角度晶界，由于晶界原子排列不规则存在大量的空位，有利于空位，当点缺陷扩散到大角度晶界，相对于固溶体将会大量存在，出现偏聚现象，一旦出现偏聚会混乱，阻碍位错的运动，使得扩散再结晶减慢，会大大增加扩散系数，如果杂质原子在晶界处大量存在，晶界将成成为杂质原子扩散的快速通道，使得扩散速率提高。

四·4. 汽轮金属强度和塑性主要取决于位错的滑移率，具体表现在两个方面。

(1) 滑移速率的多少。如果滑移速率数量合适，既不满足位错的滑移而又不足以使滑移速率产生滑移引起加工硬化的效果，即位错的滑移率过高产生加工硬化可能性很高。

(2) 位错的滑移必须在一定的外力作用下才能发生，即位错的滑移需要克服一定的阻力。这个阻力与位错和原子间的作用力有关。 $\eta_{p-u} = \frac{2G}{1-u} \exp\left(\frac{2\pi d}{(1-u)b}\right)$

这里 d 滑移面的面积因子， b 为相干长度， G 表示切变的模量， u 为材料常数。

根据经验表明简单滑移时滑移阻力较大，难以扩散因此强度较高，塑性较低。

六、反应扩散：通过扩散

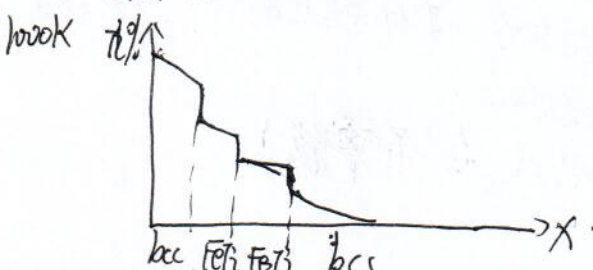
当某种元素在金属表面内部渗透时会扩散入深的金属基体的溶解度，则随着扩散的进行在金属表层形成中间相或固溶体。这种通过扩散形成新相的反应称为反扩散。

$$\text{由 } f = C - p + \sigma.$$

温度压力一定， $C=1$ $p=1$ $f=0$ 。

无两相区。

随着 C 含量增加相在变化但无两相区存在。



2014-4

④ 五. 低碳钢在冶炼浇注过程中需要经过热加工才能成型，但是，加热后低碳钢随着变形方向产生片状和条状分布组织，即形成带状组织。

1. 带状组织的成因主要有两个

- (1) 由成分偏析引起的带状组织。低碳钢零件中存在一定量的杂质元素，杂质沿着压延方向成流线分布。当低碳钢冷却到 $A_{1}-A_{3}$ 温度以下时，这些杂质元素会成为铁素体形核核心，使得铁素体在杂质周围生成，形成带状组织分布，随后奥氏体转变成珠光体，使得先期形成的铁素体和珠光体而形成带状组织。
- (2) 由于钢在高温下不等温加热而引起的带状组织，是热加工阶段温度 $A_{1}-A_{3}$ 之间的共析转变带状组织。杂质元素随着金属流动而从奥氏体中析出，剩余的奥氏体被“包围”形成带状组织。当冷却到 A_{1} 温度时，奥氏体转变成珠光体，形成铁素体和铁素体带状组织。

$d \rightarrow r \text{ 为 } A_3$
 $r \rightarrow s \text{ 为 } A_4$

2. 控制方法：

- (1) 通过控制热加工速度来避免低碳钢带状组织的形成。
通过控制热轧或者锻压速度，使钢板壁厚偏析会使得合金元素的富化区和贫化区在低碳钢经受热轧或者锻压过后，由于扩散，偏析会使得合金元素的扩散区慢慢缩小，进而发生晶粒的粗化，由于合金元素对于扩散的阻碍作用，这种合金元素的带状偏析分布不容易消除。
这些带状组织分布。

{ 成小偏析
不在吸热区蔓延

针对带状组织可以通过以下方法：减少或消除带状组织。① 控制合金元素偏析，针对带状组织可以通加一些合金元素，减少或消除带状组织。或者控制在铁素体析出区的合金元素和偏析时间，形成小带状组织。
带状组织一旦形成可以通过高温扩散退火或者正火处理消除带状组织。

6. 以Al为基的Cu-Al过饱和固溶体，以Cu为溶质原子的Al基，时效强化方式不同于纯铜的强化。因为Al会阻碍扩散过程，导致不能塑性变形，其主要的强化方式为过饱和固溶体时效强化，不同温度在相同的时间内会产生不同的时效强化效果。在Cu-Al过饱和固溶体时效过程中，首先在基体中产生Cu原子的富集区，其富集区相对于基体的扩散困难，因此是Cu原子的小颗粒G.P.区降低弹性模量，从而形成微弱的共格位错，引起滑移面的平移困难，阻碍滑移面运动，因而，金属的强度硬度提高。(2) 随着温度升高，G.P.区尺寸会急剧长大，这主要是Cu原子有序化形成“析出”，扩散加剧，尺寸下降，因此G.P.区尺寸会变大，伴随着尺寸的增长，间隙区会进一步扩大对位错的阻碍作用也进一步增加，因此时效强化作用更大。

2014.

1. 重结晶温度

重结晶温度是个动力学概念，通常上认为只要溶液是晶形的，就说明有了结晶后形成
该物质的热力学条件，在这个温度下都可以发生重结晶。在工业上，通常以过大的变形成率
(一般在70%以上) 经过1小时以上，能完成重结晶(似~~然~~) 所以这样的温度称为重结晶温

2. 相平衡条件

相平衡是指相对相之间达到物理化学平衡，不随时间的变化而变化。

包括热力学条件：各个相的温度和压力相等，任一组元在各个相中的化学势相等，体系的总
的吉布斯自由能最小。

动力学条件：冷却速度满足能量传递和物质传递的要求，冷却速率不能慢

根据拉的讲就是满足平衡： $f = C - P + \gamma$ f 为自由度 (为组元数 P 为相数 γ 为对称平衡)

3. 上坡扩散

一般而言，扩散是沿着浓度梯度进行 ($\Delta C/\Delta X$)，而实际情况是决定扩散方向的是浓度梯度 ($\Delta C/\Delta X$)。扩散过程中，浓度梯度和化学势梯度统一时则表现为扩散，当浓度梯度与化学势梯度相反时则必须顺着化学势梯度而逆浓度梯度表现为
上坡扩散

4. 空间点阵

晶体结构的基本特征为质点 (原子、分子和离子) 在三维空间呈周期性重复排列。
即存在长程有序。~~将~~ 将实际晶体抽象为完整的理想晶体并将其重新
抽象为规则非周期空间的几何体称之为阵点，每个阵点具有完全相同的
周围环境。这种点在三维空间中规则非周期的阵列称为空间点阵。

5. 堆垛层错

实际晶体结构中，密排面的正常堆垛顺序可能遭到破坏和错乱，从而
为堆垛层错简称层错。

6. 滚界分切应力

晶体的滑移在切应力作用下进行，但其中许多滑移系并非同时受力。只有当某一滑移系中的分切应力达到一定临界值时，该滑移系可以首先发生滑移。该分切应力称为滑移系的临界分切应力，其与取向无关。

北京科技大学

2013年硕士学位研究生入学考试试题

试题编号: 814 试题名称: 材料科学基础 (共 4 页)

适用专业: 材料科学与工程

说明: 所有答案必须写在答题纸上, 做在试题或草稿纸上无效。

一、简答题 (8 分/题, 共 40 分)

1. 超点阵;
2. 玻璃化转变温度;
3. 伪共晶;
4. 脱溶;
5. 二次再结晶。

二、图 1 是立方 ZnS 结构示意图, 回答以下问题 (共 20 分):

1. Zn^{2+} 的负离子配位数是多少? 4
2. Zn^{2+} 占据以 S^{2-} 密排结构的间隙位置, 写出 Zn^{2+} 占有位置的坐标;
3. 计算 ZnS 结构的晶格常数(已知 Zn^{2+} 和 S^{2-} 的离子半径分别为 0.06 nm 和 0.18 nm);
4. 计算 ZnS 结构的致密度。

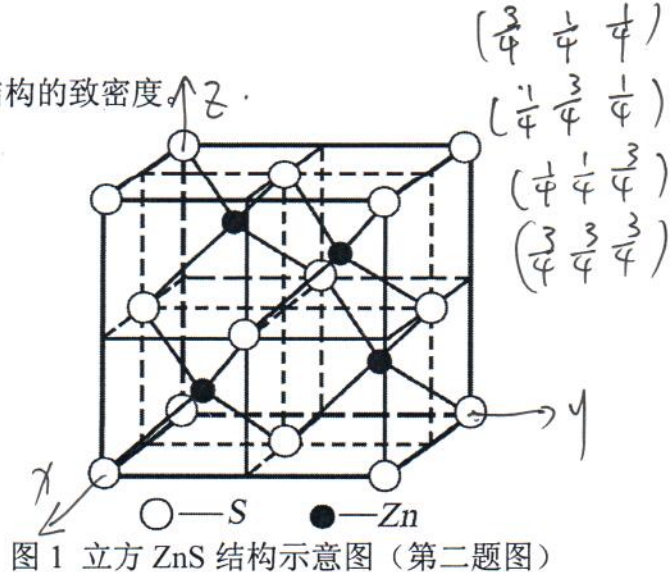


图 1 立方 ZnS 结构示意图 (第二题图)

三、图 2 是在同一滑移面上三组相互平行的相距为 d 的直位错, 它们的柏氏矢

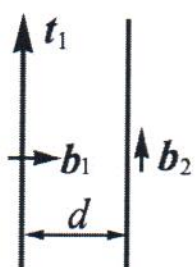


a. 两个相互平行的直位错线之间的距离相等，二者所产生的应力场均不受对方干扰，故彼此不发生作用。

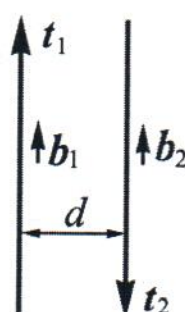
量 b 的模相等，箭头指向是柏氏矢量 b 和位错线 t 的方向。问每组的位错之

b. 两平行位错之间是相互吸引还是相互排斥，为什么？（共 15 分）

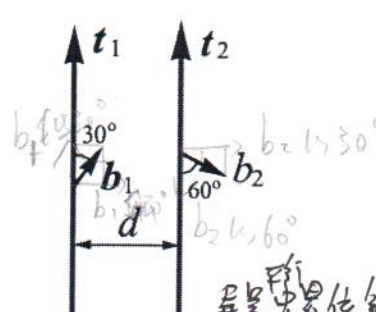
进行分析



(a)



(b)



(c)

图 2 三组相互平行的直位错及其柏氏矢量（第三题图）

$$f_1 = \frac{G b_1 \vec{b}_2}{2\pi r} < f_2 = \frac{G b_2 \vec{b}_1}{2\pi r(1-\nu)}$$

四、示意画出图 3 所示的 A-B 体系中各相在 T1、T2、T3 和 T4 温度时的 Gibbs 自由焓-成分曲线。（共 10 分）

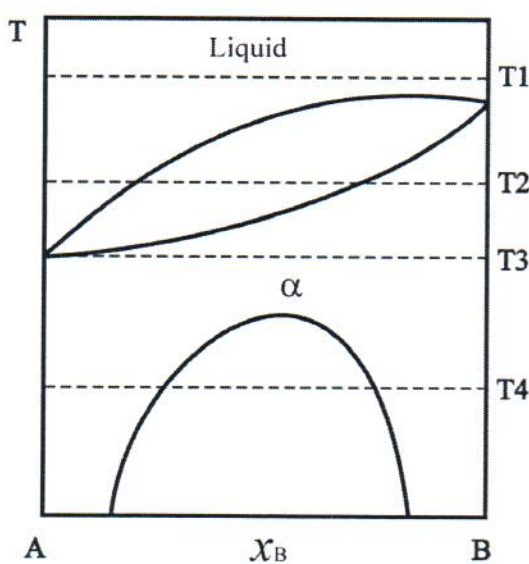


图 3 A-B 二元合金相图（第四题图）

五、图 4 为某三元合金系在 T1 和 T2 温度下的等温截面。若 T1>T2，确定此合金系中存在哪种类型的三相平衡反应？说明判断理由，并写出三相反应式。

（共 10 分）



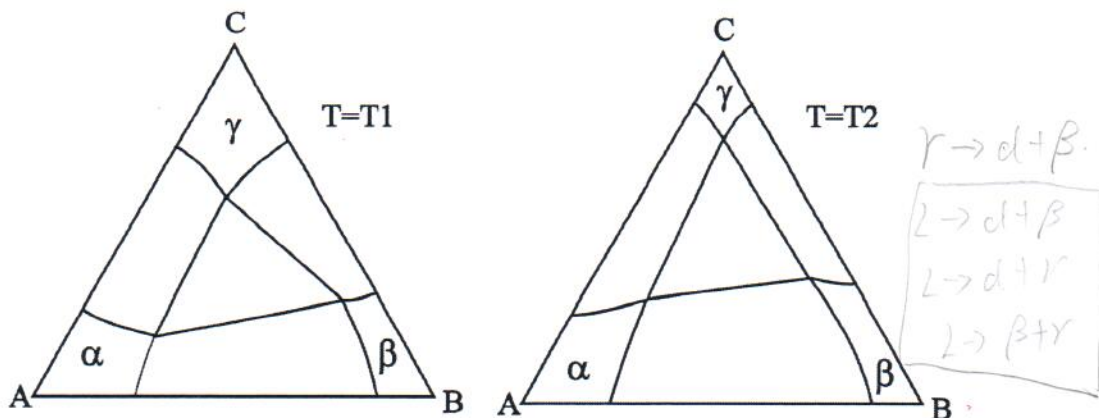
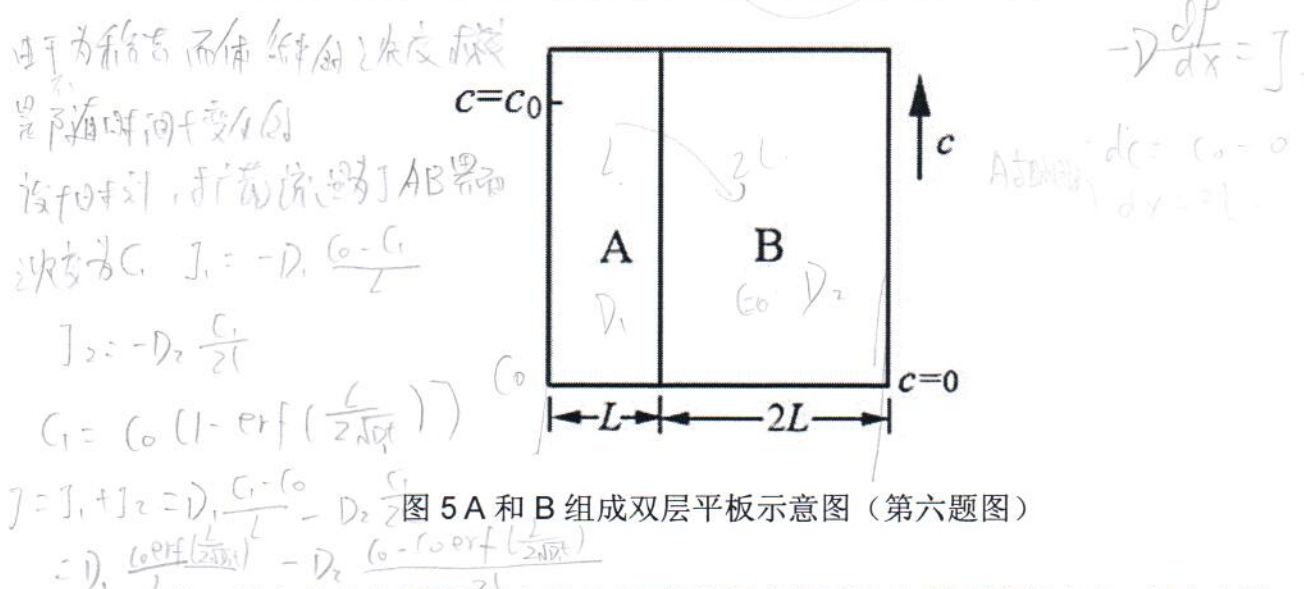


图 4 A-B-C 三元系等温截面 (第五题图)

六、由材料 A 和 B 组成双层平板，A 板厚度为 L，B 板厚度为 2L，如图 5 所示。

扩散组元在 A 板一侧表面的浓度为 $c=c_0$ (常数)，在 B 板一侧表面的浓度一直保持为 $c=0$ 。假设：扩散组元不与 A 和 B 形成新相；在 A 和 B 中扩散系数均为常数，分别是 D_1 和 D_2 ；扩散组元在 A/B 界面浓度保持连续；A 和 B 相互之间不扩散。求扩散在稳态时的扩散流量。(共 15 分)



七、什么是动态回复？什么是动态再结晶？分别画出在相同温度时高、低应变速率下动态回复和动态再结晶的真应变—真应力曲线示意图，并给出简单解释。(共 10 分)

八、常温下单相合金塑性变形有哪些主要方式，说明拉伸变形后相应的显微组织形貌特征。(共 10 分)



2013

1. 聚合物.

对于某些成分接近于一定原子比的无序固溶体，当它从高温冷却到某一临界温度以下时，该原子就会从统计随机分布状态过渡到占有一定位置的规则排列状态，即发生有序化的过程，形成有序固溶体。长程有序固溶体在X射线衍射图谱上会显示出衍射线条，这就是特征线条，所以有序固溶体通常称为特征结构。

2. 玻璃化转变温度.

对于一个体系，随着温度的下降，过冷液体的黏度迅速增大，原子间的相互运动变得更加困难，所以当温度降至某一临界温度以下时，即固化为玻璃，这个临界温度称为玻璃化温度。

3. ~~共晶~~ 月牙深

当过冷和固溶体不断形成一个成分不同的新相，新相则逐渐由过冷和过饱和态，当新相完全达到饱和状态时，过冷度即告中止。这个过程叫做月牙深。当固溶体因温度变化等原因而呈过冷和状态时，将自发地发生另类月牙深。此时过饱和溶液原子通过扩散而形成新相析出，此过程称之为月牙深。

4. 伪共晶.

在平衡凝固条件下，只有共晶成分的合金经凝固才能得到全部的共晶。然而在非平衡凝固条件下，在共晶处附近的某些亚共晶成分也会结晶。这种非共晶成分的结晶或过共晶成分完全也能得到全部的共晶组织。所得到的共晶组织称为伪共晶组织。

5. 二次再结晶.

在某些情况下，再结晶完成之后，晶粒长大时出现反常现象，即出现少数晶粒在某些情况下，再结晶完成之后，晶粒长大时出现反常现象，即出现少数晶粒以极快的速度生长，逐步吞食掉其周围的晶粒，最后形成非常粗大的晶粒组织。

二、三、四、五、六 在试卷上

~~第七章~~
七 (1) 动力学回复：在塑性变形过程中发生的回复

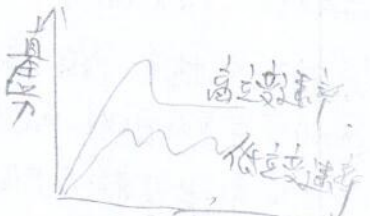
动力学再结晶：在塑性变形过程中发生的再结晶

特点：① 反复形变，有限长、晶粒较细。

② 包含亚晶界，位错密度较高，晶粒互变多。

应用：利用低的变形终止温度大的最终变形量，快的冷却速度可获得细小晶粒。

八 第一阶段为微空穴化和石墨化阶段 金属强度增加
加工速度增加，不发生动力学再结晶



第二阶段为动力学再结晶阶段 此时虽已出现动力学再结晶的特征，但加工硬化仍占有主导地位。后由再结晶加快，加工速度在一定范围内下降。

第三阶段为动态流变阶段 加工硬化与动力学再结晶同时进行，在恒定变速下，体系流动曲线出现波动，主要由于变形引起的加工硬化和动力学再结晶产生的软化交替作用及其随温度变化有关。

1. 方式 滑移孪生。晶体的两个部分之间沿着一定轴向和滑移面平行的一系列相对切变，这种切变既不改变孪生类型，也不使晶体取向，只是在晶体表面上出现台阶状的痕迹，这种方式称为滑移。晶体受到以产生孪生的方式进行的塑性变形，是塑性形核的一个机制即孪生。

(2) 组织与结构变化 ① 扩大组织 位错密度低，各胞间隔小而位相多。② 纤维组织，沿变形方向被拉长。③ 位错在外形缓和，构件宏观形变相加以，而且之内形变大，滑移带中孪生带通过晶格线的缺陷，位错室之间隔原子层分离。

· 显微组织的变化。

经塑性变形后，金属材料的显微组织发生明显改变，除了新晶粒外，出现大量的滑移带或孪生带外，随着变形度的增加，原来的等轴晶粒将逐渐沿其变形方向伸长，当变形量很大时，晶粒变的模糊不清，滑移带又像以分割点而呈环一片如纤维状的组织称为纤维组织。

亚共析钢的奥氏体-一定量塑变 位错线通过相互运动互相作用呈双螺旋分布形成滑移带进一步增加变形量，大量位错聚集，并由缠结的位错形成位错团。

北京科技大学

2012 年硕士学位研究生入学考试试题

试题编号: 814 试题名称: 材料科学基础 (共 3 页)

适用专业: 材料科学与工程 材料工程(专业学位)

说明: 所有答案必须写在答题纸上, 做在试题或草稿纸上无效。

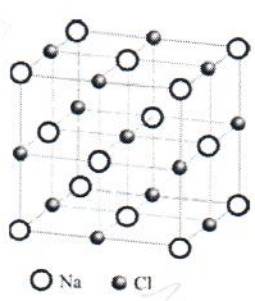
一、简答题 (8 分/题, 共 40 分)

1. 写出七种晶系的名称及点阵参数之间的关系;
2. 简述临界分切应力的概念;
3. 给出一级相变和二级相变的分类原则和相变特征;
4. 分析金属或合金的结晶形态;
5. 给出再结晶温度的定义。

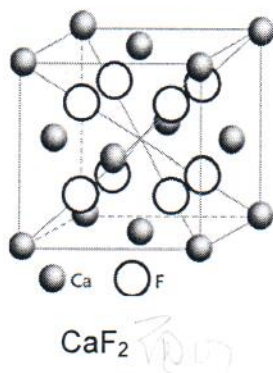
二、纯 Cu 晶体在常温下的点阵常数为 $a=0.3615\text{nm}$:

1. 指出其晶体结构类型和配位数 (3 分); (面心立方结构) 12
2. 简略计算 Cu 原子半径、原子致密度和两类间隙半径 (6 分); $\sqrt{2}a = 4R \Rightarrow R = \frac{\sqrt{2}}{4}a$
3. 画出 Cu 原子在 (111) 晶面的分布情况, 并计算其晶面间距和原子在晶面上的致密度 (6 分)。 (共 15 分) (111) 面间距 $d = \frac{a}{\sqrt{h^2+l^2+k^2}} = \frac{a}{\sqrt{3}}$ 原子致密度 $(N/V) \cdot \frac{4}{\sqrt{3} \pi r^2}$

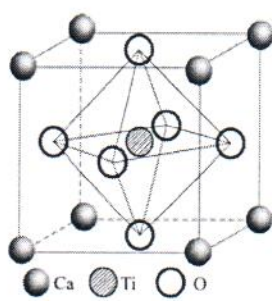
三、分别画出下列离子晶体的布拉菲点阵 (下图中的点阵参数均为 $a=b=c$, $\alpha=\beta=\gamma=90^\circ$)。(10 分)



NaCl



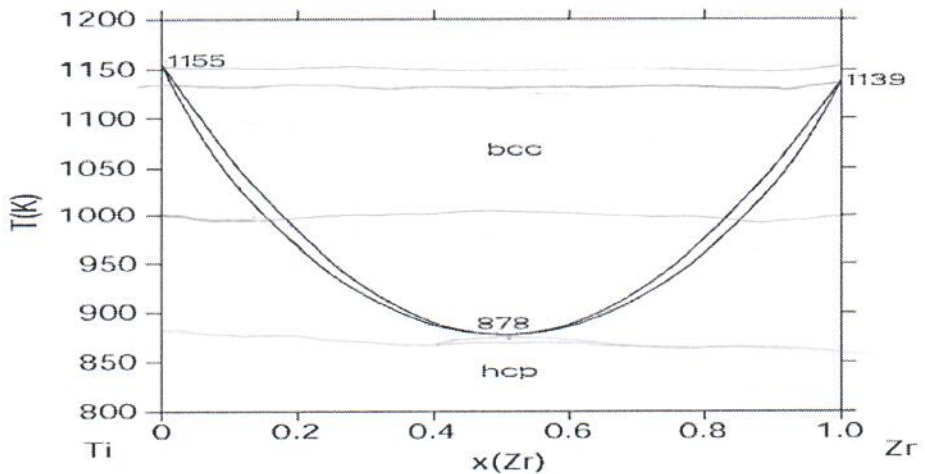
CaF₂



CaTiO₃



四、示意画出下面的 Ti-Zr 体系中 bcc 和 hcp 相在 1155、1139、1000 和 878K 时的 Gibbs 自由焓-成分曲线。(15 分)



五、根据下面的 Al-Zn 相图,

1. 写出其中的三相反应式 (4 分);
2. 画出 $x(\text{Zn})=0.80$ 合金的缓慢冷却曲线, 并写出各阶段相对应的组织 (8 分);
3. 画出上述合金缓慢冷却到室温时的组织示意图, 并计算各组织组成物的相对含量 (8 分)。 (共 20 分)

